

# NGHIÊN CỨU ĐỘNG HỌC SỰ TẠO THÀNH VÀ PHÂN HỦY PHỨC CHẤT TRUNG GIAN HOẠT ĐỘNG PEROXO(PER) TRONG HỆ $H_2O\text{-Mn}^{2+}\text{-DETA-H}_2O_2$

Đến Tòa soạn 8-01-2008

NGUYỄN QUANG TUYẾN<sup>1</sup>, ĐẶNG XUÂN TẬP<sup>2</sup>, NGÔ KIM ĐỊNH<sup>3</sup>, NGUYỄN VĂN XUYỄN<sup>4</sup>

<sup>1</sup>Bộ Tư lệnh Hải quân

<sup>2</sup>Bộ Tư lệnh Hóa học

<sup>3</sup>Trường Đại học Hàng hải

<sup>4</sup>Trường Đại học Bách khoa Hà Nội

## SUMMARY

In this article, some studied results of kinetics of peroxy complex formation and  $H_2O_2$  decomposition in the system:  $H_2O\text{-Mn}^{2+}\text{-DETA-H}_2O_2$  (I) are presented. The kinetic time and condition of peroxy complex formation such as pH; concentration of  $Mn^{2+}$ , DETA and  $H_2O_2$  have been examined. These results allow establishing kinetic model of peroxy complex formation.

## I - MỞ ĐẦU

Xúc tác đồng thể bằng phức chất là một lĩnh vực đầy triển vọng và ngày càng được nghiên cứu, phát triển mạnh mẽ [1, 2]. Trong quá trình oxi hoá các hợp chất hữu cơ thì việc hình thành phức chất trung gian hoạt động (Per) cũng như tác nhân oxi hoá, đóng vai trò quyết định đến tốc độ và hiệu suất của phản ứng [3].

Các sản phẩm trung gian hoạt động như  $O^\bullet$ ,  $HO^\bullet$ ,  $O_2^\bullet$ ,  $\Delta g$ , ... là các tác nhân oxi hoá mạnh, có khả năng oxi hoá các hợp chất hữu cơ ở nhiệt độ và áp suất thường, mặt khác còn có ưu điểm là  $H_2O_2$  và các sản phẩm trung gian thuần khiết về mặt sinh thái học [4].

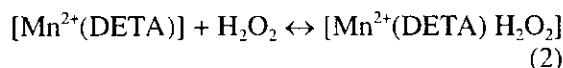
Công trình [5] đã chứng minh trong hệ:



phản ứng phân hủy  $H_2O_2$  diễn ra dưới tác dụng của phức xúc tác  $[Mn^{2+}(\text{DETA})]$  được tạo thành giữa  $Mn^{2+}$  và Dietylentriamin (DETA):



Điều có ý nghĩa quan trọng đối với cơ chế xúc tác phân hủy  $H_2O_2$  trong hệ (I) là cần phải tiếp tục khảo sát làm sáng tỏ khả năng tạo Per của  $[Mn^{2+}(\text{DETA})]$  với  $H_2O_2$ :



Với mục đích như vậy, trong công trình này chúng tôi tiến hành khảo sát:

- Phổ hấp thụ electron phân tử, thời gian tạo thành và phân hủy của Per.

- Các yếu tố ảnh hưởng như pH dung dịch, nồng độ đầu  $[Mn^{2+}]_0$ ,  $[DETA]_0$ ,  $\beta = \frac{[DETA]_0}{[Mn^{2+}]_0}$ ,

$[H_2O_2]_0$  trong hệ (I).

- Từ các kết quả thu được thiết lập mô hình động học của sự tạo thành Per.

## II - THỰC NGHIỆM

Phương pháp phổ hấp thụ electron phân tử

UV-Vis đã được sử dụng để tiến hành các nghiên cứu trên máy quang phổ Beckman DU<sup>®</sup>530. Phổ hấp thụ cũng như thời gian hình thành và phân huỷ Per được khảo sát đối với hệ (I) với điều kiện như sau: pH = 9,5,  $[Mn^{2+}]_0 = 5 \cdot 10^{-6}$  M,  $[DETA]_0 = 5 \cdot 10^{-4}$  M,  $\beta = 100$ ,  $[H_2O_2]_0 = 5 \cdot 10^{-4}$  M.

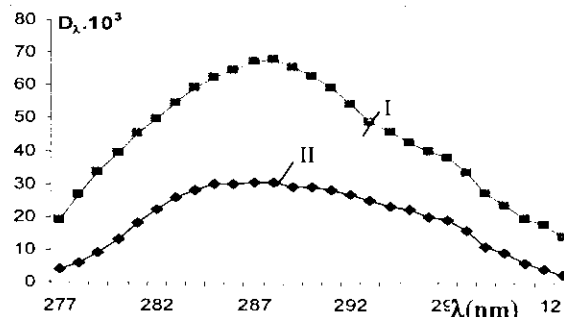
Khảo sát các yếu tố động học ảnh hưởng đến sự tạo thành Per bằng cách đo độ hấp thụ  $D_{per}$  tại cực đại hấp thụ  $\lambda_{max}$  với pH = 7,2 ÷ 9,7 và nồng độ đầu của các chất trong hệ (I) thay đổi như sau:  $[Mn^{2+}]_0 = 10^{-6} \div 10^{-4}$  M;  $[DETA]_0 = 0 \div 10^{-3}$  M;  $[H_2O_2]_0 = 5 \cdot 10^{-5} \div 5 \cdot 10^{-3}$  M ở nhiệt độ 30°C.

Các hoá chất sử dụng đều là loại PA, nước cất hai lần.

Xác định tốc độ phản ứng tạo thành Per theo biểu thức:

$$W^{per} = \frac{\Delta D}{\Delta t \cdot \varepsilon \cdot d} \text{ (M.I<sup>-1</sup>.ph<sup>-1</sup>)}$$

Trong đó:  $\Delta D$  là độ chênh lệch độ hấp thụ quang của hệ (I) trong khoảng thời gian  $\Delta t$ ,  $\varepsilon = 9,85 \cdot 10^3 \text{ l.M}^{-1} \cdot \text{cm}^{-1}$  là hệ số hấp thụ phân tử gam tại bước sóng khảo sát,  $d$  (cm) là độ dày cuvet.



Hình 1: Phổ hấp thụ electron phân tử của hệ (I) và hệ (II)

## 2. Khảo sát thời gian hình thành và phân huỷ Per

Đo độ hấp thụ quang của Per tại  $\lambda_{max}$  (287 nm) và  $\Delta D_{287}^{per}$  theo thời gian t(s). Kết quả đã xây dựng được đường cong động học sự tạo thành và phân huỷ Per được thể hiện trên hình 3.

\*t = 0 ÷ 120s: thì  $\Delta D_{287}^{per}$  tăng theo thời

Bậc riêng của phản ứng tạo thành Per theo nồng độ đầu của các chất trong hệ  $C_{o,i}$  được xác định theo đồ thị phụ thuộc của  $-\lg W^{per}$  vào  $-\lg C_{o,i}$ .

## III - KẾT QUẢ VÀ THẢO LUẬN

### 1. Khảo sát phổ hấp thụ phân tử của Per

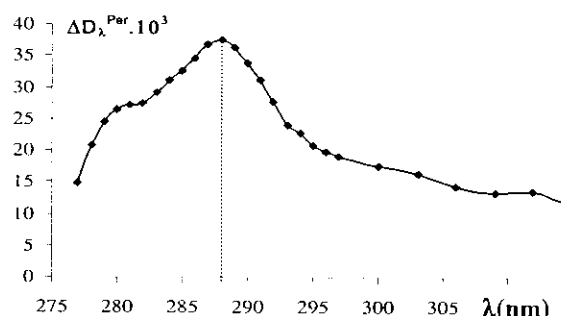
Để chứng minh sự tạo thành Per chúng tôi tiến hành ghi phổ hấp thụ electron phân tử trong khoảng  $\lambda$  từ 250 ÷ 350 nm của hai hệ sau, với điều kiện phản ứng như mô tả ở trên:



Kết quả được thể hiện trên hình 1. Sự khác nhau về hình dạng và độ cao phổ của hai hệ (I) và (II) đã chứng tỏ có sự tạo thành Per trong hệ (I).

Độ chênh lệch mật độ hấp thụ quang của hai dung dịch ở mỗi bước sóng chính là độ hấp thụ của Per:  $\Delta D_{\lambda} = D_{\lambda}^{(I)} - D_{\lambda}^{(II)} = D_{\lambda}^{per}$

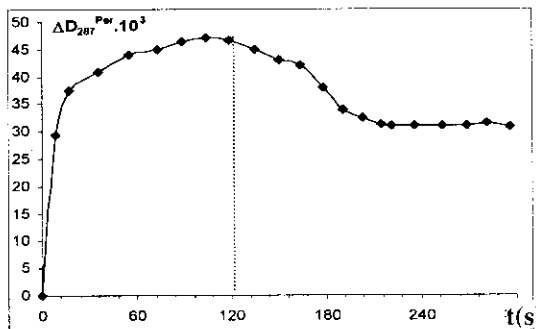
Hình 2 cho thấy cực đại phổ hấp thụ của Per có  $\lambda_{max} = 287$  nm, do đó trong các thí nghiệm sau chúng tôi chọn  $\lambda_{max} = 287$  nm.



Hình 2: Phổ hấp thụ electron phân tử của Per trong hệ (I)

gian, thể hiện quá trình tạo thành Per, cân bằng (2) chuyển dịch sang phải. Tại t = 120s: thì  $\Delta D_{287}^{per}$  đạt cực đại, nồng độ Per cao nhất ở trạng thái cân bằng. Các thí nghiệm sau đây được tiến hành ở thời điểm t = 120s.

\*t > 120s: thì  $\Delta D_{287}^{per}$  giảm dần, thể hiện quá trình phân huỷ Per, điều đó chứng tỏ Per là phức trung gian hoạt động.



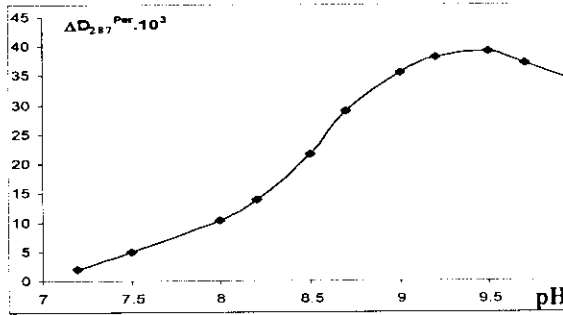
Hình 3: Sự thay đổi độ hấp thụ quang của Per trong hệ (I) theo thời gian

### 3. Khảo sát các yếu tố động học sự tạo thành Per

Để nghiên cứu động học sự tạo thành Per, tiến hành đo độ hấp thụ quang của Per tại 287 nm theo thời gian với pH hoặc nồng độ đầu của một trong các chất nghiên cứu thay đổi các thông số còn lại không đổi trong hệ (I). Từ đó xây dựng được đường cong động học sự tạo thành Per phụ thuộc vào các yếu tố: pH,  $[Mn^{2+}]_0$ ,  $[DETA]_0$ ,  $[H_2O_2]_0$ .

#### a) Ảnh hưởng của pH

Thay đổi pH từ 7,2 ÷ 9,7, đo  $\Delta D_{287}^{\text{Per}}$  ứng với  $\Delta t = 120\text{s}$ . Kết quả thu được thể hiện trên hình 4.



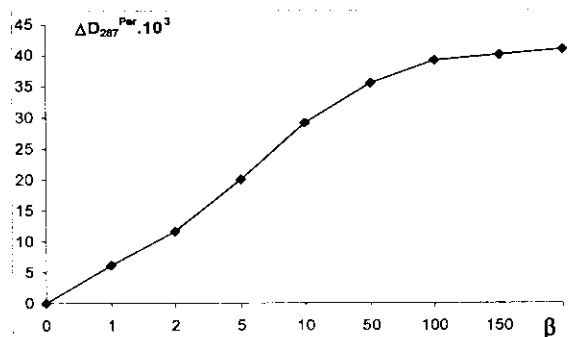
Hình 4: Sự phụ thuộc của  $\Delta D_{287}^{\text{Per}}$  vào pH  
Hệ (I):  $pH = 7,2 \div 9,7$ ,  $[Mn^{2+}]_0 = 5 \cdot 10^{-6} \text{ M}$ ,  
 $[DETA]_0 = 5 \cdot 10^{-4} \text{ M}$ ,  $[H_2O_2]_0 = 10^{-4} \text{ M}$

Hình 5 cho thấy khi tăng  $[DETA]_0$ , thì  $\Delta D_{287}^{\text{Per}}$  tăng mạnh tức là tăng nồng độ của Per. Điều đó được giải thích do DETA bị deproton hoá tạo điều kiện cho chuyển dịch tạo phức xú-

Hình 4 cho thấy theo chiều tăng của pH thì  $\Delta D_{287}^{\text{Per}}$  càng tăng và đạt cực đại tại  $pH = 9,5$ . Khi  $pH > 9,5$  thì  $\Delta D_{287}^{\text{Per}}$  giảm đi do tương tác của OH làm giảm nồng độ của phức xúc tác và của Per. Từ đó thị sự phụ thuộc  $-\log W^{\text{Per}}$  vào  $\log[H^+]_0$  xác định được bậc phản ứng theo  $[H^+]_0$ ;  $n = -0,62 \div 0,10$ .

#### b) Ảnh hưởng của $[DETA]_0$

Thay đổi  $[DETA]_0$  từ 0 đến  $10^{-3} \text{ M}$  (ứng với  $\beta = 0 \div 200$ ). Đo độ hấp thụ quang tại cực đại hấp thụ theo thời gian. Từ đó ta xây dựng được đường cong động học sự tạo thành Per theo  $[DETA]_0$ . Sự phụ thuộc của  $\Delta D_{287}^{\text{Per}}$  vào  $[DETA]_0$  tại  $t = 120$  giây được thể hiện trên hình 5.



Hình 5: Ảnh hưởng của  $[DETA]_0$  đến  $\Delta D_{287}^{\text{Per}}$   
Hệ (I):  $[DETA]_0 = 0 \div 10^{-3} \text{ M}$ ,  $pH = 9,5$ ,  $[Mn^{2+}]_0 = 5 \cdot 10^{-6} \text{ M}$ ,  $[H_2O_2]_0 = 10^{-4} \text{ M}$

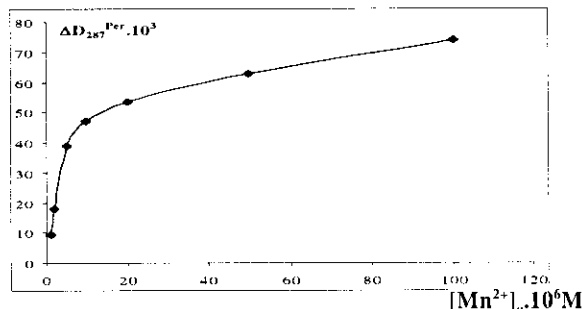
tác và Per. Khi  $\beta \geq 100$  thì  $\Delta D_{287}^{\text{Per}}$  tiến tới giới hạn và không thay đổi do phức xúc tác được chuyển hoàn toàn vào Per theo phản ứng (2).

Bằng phương pháp đồ thị ta thu được bậc

phản ứng theo  $[DETA]_0$ :  $n_{DETA} = 0,12 \div 0,66$ .

### c) Ảnh hưởng của $[Mn^{2+}]_0$

Thay đổi  $[Mn^{2+}]_0$  trong hệ (I) từ  $10^{-6}$  M đến  $10^{-4}$  M giữ giá trị  $\beta = 100$ . Sự phụ thuộc của  $\Delta D_{287}^{per}$  vào  $[Mn^{2+}]_0$  tại thời điểm  $t = 120s$  được thể hiện trên hình 6.



Hình 6: Ảnh hưởng của  $[Mn^{2+}]_0$  đến  $\Delta D_{287}^{per}$

Hệ (I):  $[Mn^{2+}]_0 = 10^{-6} \div 10^{-4}$  M; pH = 9,5  
 $\beta = 100$ ,  $[H_2O_2]_0 = 10^{-4}$  M

### d) Ảnh hưởng của $H_2O_2$

Tiến hành đo  $\Delta D_{287}^{per}$  theo thời gian với  $[H_2O_2]_0$  thay đổi như mô tả ở trên. Kết quả thí nghiệm xây dựng được đường cong động học sự tạo thành Per theo  $[H_2O_2]_0$ . Sự phụ thuộc của  $\Delta D_{287}^{per}$  vào  $[H_2O_2]_0$  tại thời điểm  $t = 120s$  được minh họa trên hình 7.

Kết quả thí nghiệm cho thấy  $\Delta D_{287}^{per}$  tăng khi  $[H_2O_2]_0$  tăng, điều này phù hợp với cân bằng (2).

Bậc phản ứng theo  $[H_2O_2]_0$  xác định được:  $n_{H_2O_2} = 0,13 \div 0,59$ .

Từ các kết quả và công thức (1) thiết lập được biểu thức động học phản ứng tạo thành Per trong hệ (I):

$$W^{per} = \frac{[Mn]_0^{0,21 \div 0,88} \cdot [DETA]_0^{0,12 \div 0,66} \cdot [H_2O_2]_0^{0,12 \div 0,59}}{[H^+]_0^{-0,10 \div 0,62}}$$

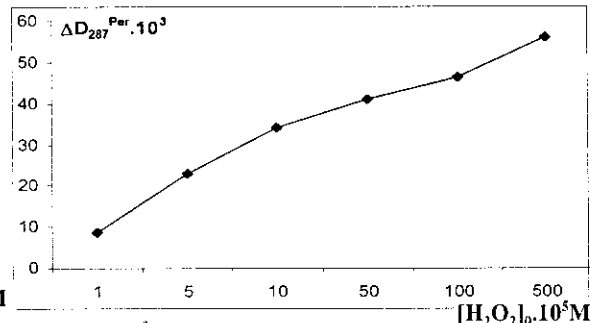
## IV - KẾT LUẬN

1. Chứng minh trong hệ (I) sự tạo thành phức trung gian hoạt động Per  $[Mn(DETA)(H_2O_2)]$  có phổ hấp thụ electron cực đại tại  $\lambda_{max} = 287$  nm.

Hình 6 cho thấy nồng độ đầu của  $[Mn^{2+}]_0$  trong hệ (I) càng tăng thì  $\Delta D_{287}^{per}$  tăng, tức là nồng độ Per tăng. Điều này hoàn toàn phù hợp với sự chuyển dịch cân bằng (1) và (2) về phía bên phải.

Bậc phản ứng theo  $[Mn^{2+}]_0$  xác định được:

$$n_{Mn} = 0,21 \div 0,88.$$



Hình 7: Ảnh hưởng của  $[H_2O_2]_0$  đến  $\Delta D_{287}^{per}$   
Hệ (I):  $[H_2O_2]_0 = 10^{-5} M \div 10^{-3} M$ ; pH = 9,5;  
 $[Mn^{2+}]_0 = 5 \cdot 10^{-6} M$ ;  $[DETA]_0 = 5 \cdot 10^{-4} M$

2. Phức Per được tạo thành trong khoảng thời gian  $t = 0 \div 120s$ , đạt nồng độ cực đại tại  $t = 120s$  và phân hủy khi  $t > 120s$ .

3. Đã thiết lập được biểu thức động học tạo thành phức trung gian hoạt động Per ( $W^{per}$ ) phụ thuộc vào các yếu tố ảnh hưởng khác nhau trong hệ (I).

## TÀI LIỆU THAM KHẢO

- Catalysis Today, Volume 44, Issues 1-4, September 1998, 183 - 188.
- Advances in catalysis activation of dioxygen by metal complexes, Focus on Catalysts, Volume 2003, Issue 12, December 2003, pp.8.
- Nguyễn Văn Xuyến. Luận án tiến sĩ khoa học, Hà Nội (1994).
- B. J. Hathaway. Science and Technology of Advanced Materials, in press, Corrected Proof. Available online December 2004.
- Nguyễn Quang Tuyến, Đặng Xuân Tập, Ngô Kim Định, Nguyễn Văn Xuyến. Tuyển tập các bài báo khoa học tại Hội nghị khoa học lần thứ 20 ĐHBKHN, Tr.186-191, Hà Nội 2006.